



## 第十届全国先进气体探测器研讨会

# 半导体辐射探测器前端读出电子学ASIC芯片 研究进展

**高 武**

西北工业大学微电子学院  
嵌入式系统集成教育部工程研究中心  
辐射探测材料与器件工信部重点实验室

2021年10月22日



## 内容安排

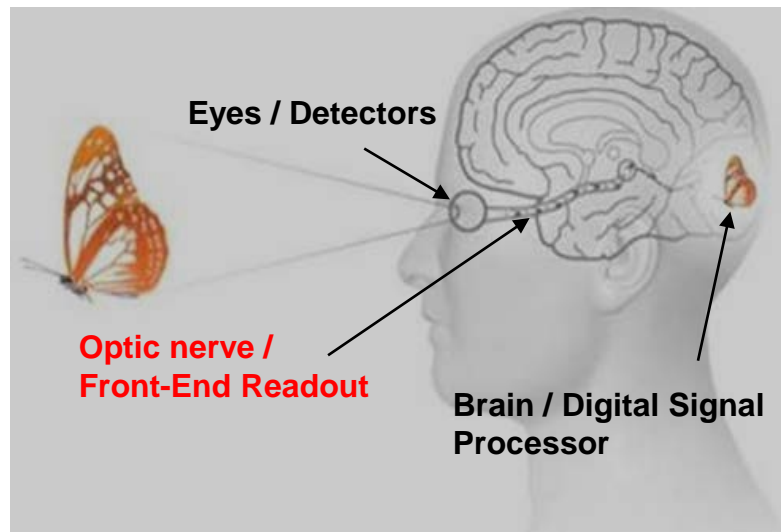
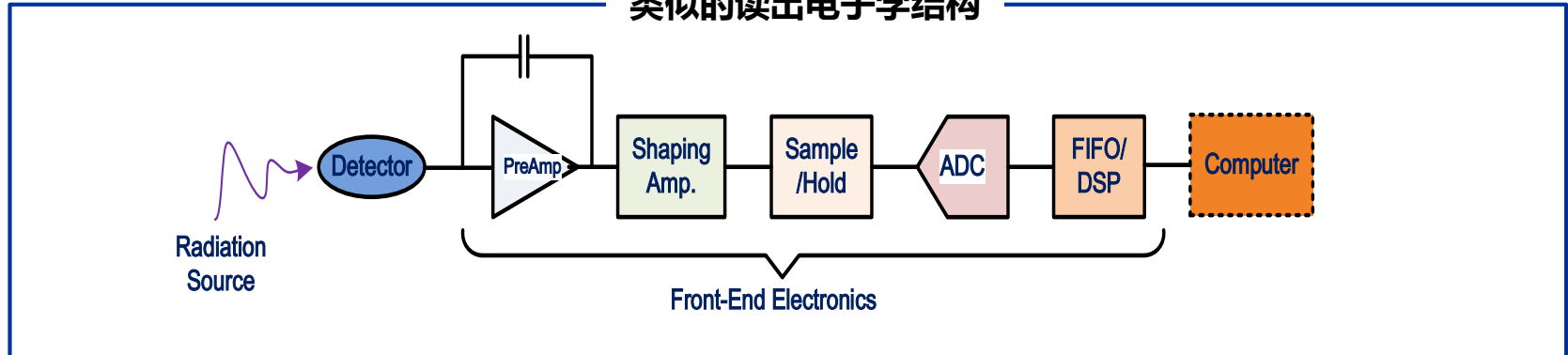
- 1 探测器前端读出电子学ASIC概述
- 2 国内外现状及动态
- 3 气体探测器前端读出ASIC
- 4 西北工业大学前端读出ASIC研究进展
- 5 下一步计划



# 探测器前端读出电子学ASIC概述

# 半导体辐射探测器读出电子学

类似的读出电子学结构



## □ 主要功能

- 微弱电流信号读出
- 多通路信号处理
- 幅度测量
- 时间测量

## □ 解决方案

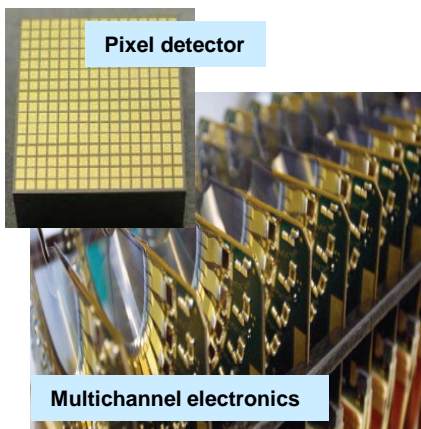
- ASIC + 嵌入式



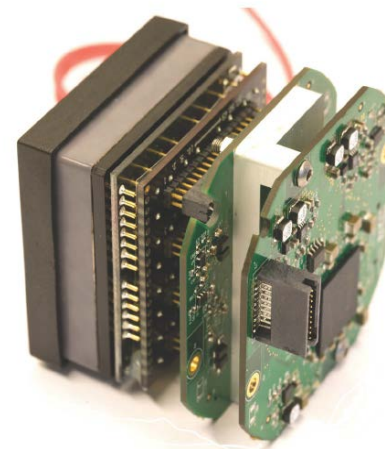
# 从分立电子学到集成ASIC

## ➤ 条状多通路读出ASIC

- 电荷灵敏前放、高阶成形主放、峰值采样保持、数据转换器、数据预处理
- 特点: **Big Analog**, **Small Digital** (大A小D)



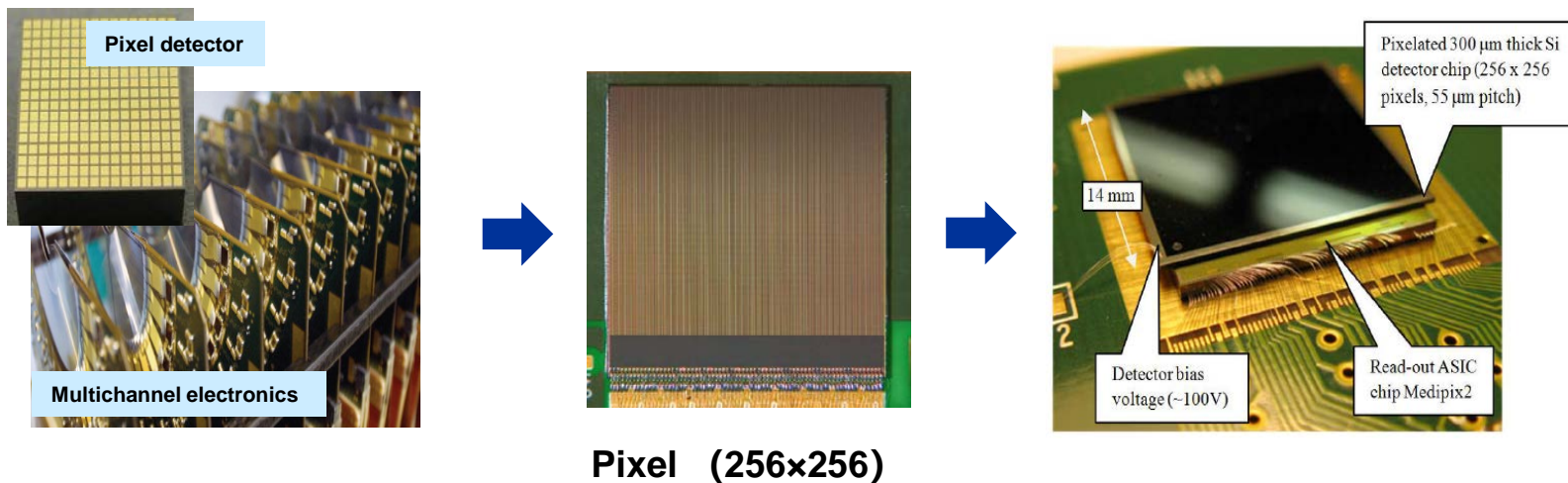
Strip (16/32/64/128)



## 从分立电子学到集成ASIC

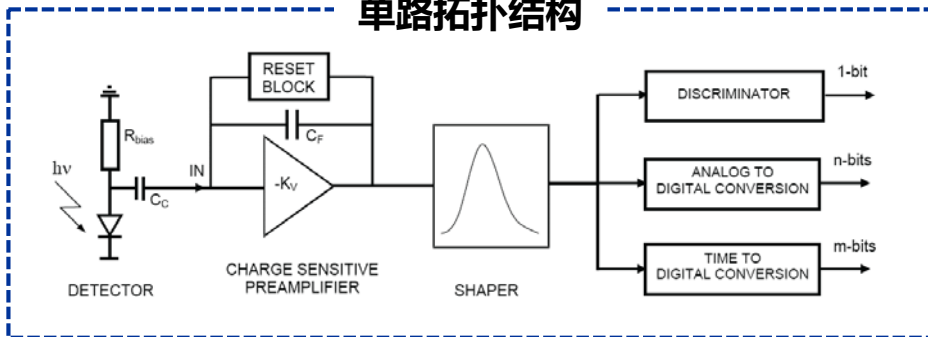
### ➤ 像素型二维读出ASIC

- 电荷灵敏前放、过域时间甄别器、像素级ADC/计数器、并入串出、高速串行接口
- 特点: Analog Islands in Digital Sea (数字海、模拟岛)

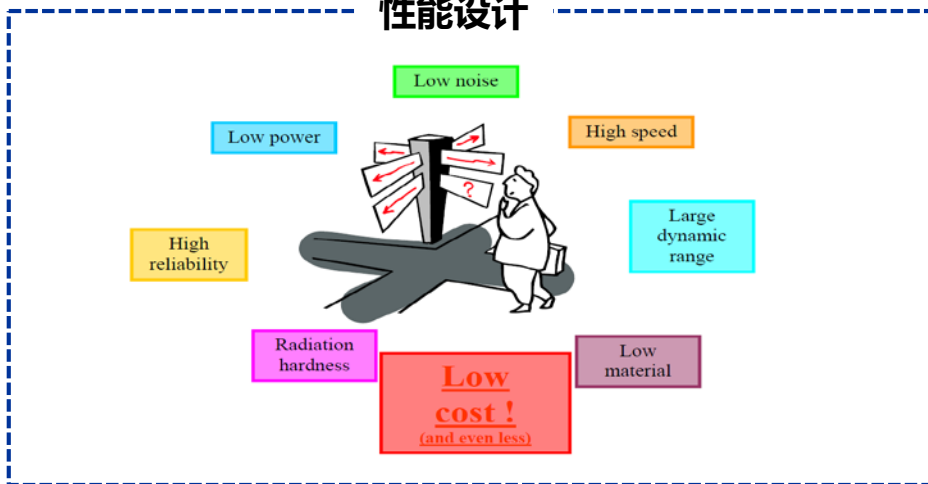


# ASIC性能及特点

## 单路拓扑结构



## 性能设计

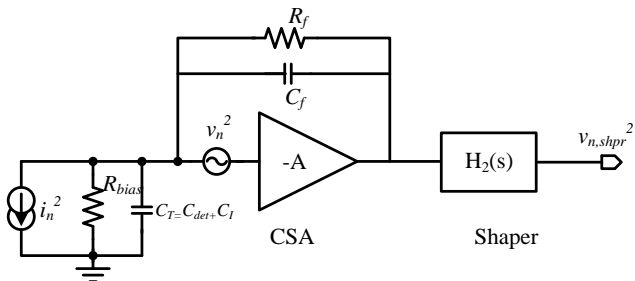


## 主要特点

- **混合信号ASIC**
  - ✓ 射频/模拟 + 数字 + 抗辐射 → 现代集成电路最尖端技术综合
- **多种性能需求**
  - ✓ 低噪声:  $\sim 100 e^-$
  - ✓ 高速并行/串行处理 → 全局/卷帘快门、感兴趣区域、事件驱动
  - ✓ 大动态范围:  $\sim 100\text{dB}$
  - ✓ 极低功耗:  $\sim \mu\text{W/channel}$
  - ✓ 抗辐射:
    - TID > 10 Mrad(Si);
    - NIEL >  $10^{11}$  Neq/cm<sup>2</sup>
    - LET<sub>th</sub> > 100 MeVcm<sup>2</sup>/mg

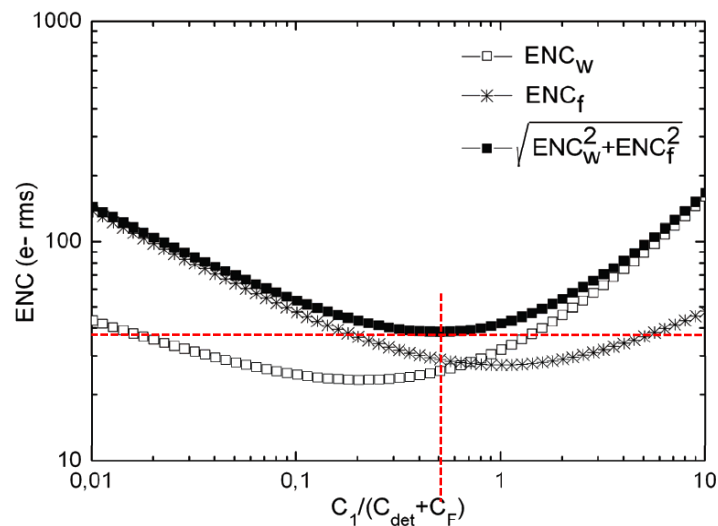
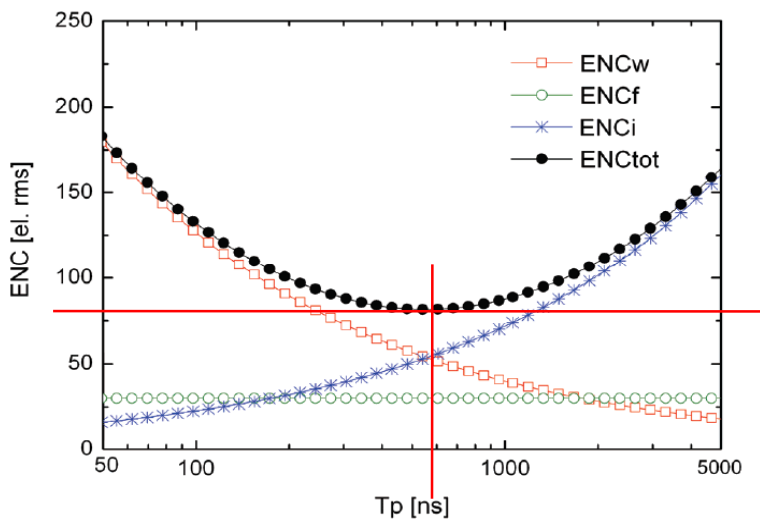
## 设计挑战一：低噪声设计

### ➤ 等效噪声电荷(理想模型)



$$ENC = \frac{\sqrt{v_{n,shpr}^2}}{v_{shpr,max} (Q_{in} = 1 \text{ electron})}$$

$$= e \sqrt{\frac{t_p}{8} \left( 2qI_{det} + \frac{4kT}{R_{bias}} + \frac{4kT}{R_f} \right) + (C_F + C_T)^2 \left( \frac{4kT\gamma_n}{8t_p g_{m1}} + \frac{K_f}{2C_{ox}^2} \frac{1}{WL} \right) + N_{const}^2}$$



(P. Grybos, 2010)



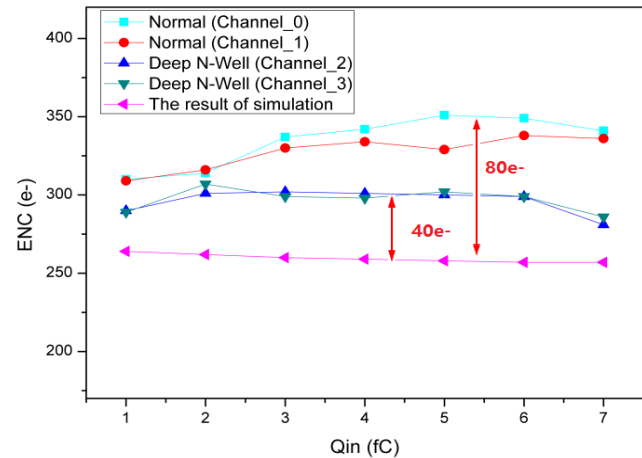
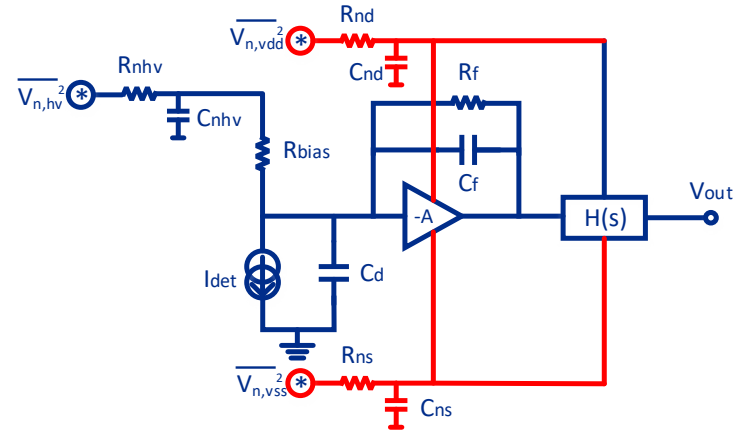
# 设计挑战一：低噪声设计

## ➤ 等效噪声电荷 (电源噪声影响)

$$ENC = \sqrt{ENC_w^2 + ENC_f^2 + ENC_i^2 + ENC_{const}^2}$$

$$ENC_{const}^2 = \frac{0.469t_pqKT}{R_{n,hv}C_{n,hv}R_{o,hv}} + \frac{KTR_{o,vdd}C_f^2(g_{m1} + g_{mb1} + g_{ds1} + g_{ds0})^2}{C_{nd}R_{nd}g_{ds0}^2} + \frac{KTR_{o,gnd}C_f^2g_{ds0}^2}{C_{ns}R_{ns}(g_{m0} + g_{mb0})^2}$$

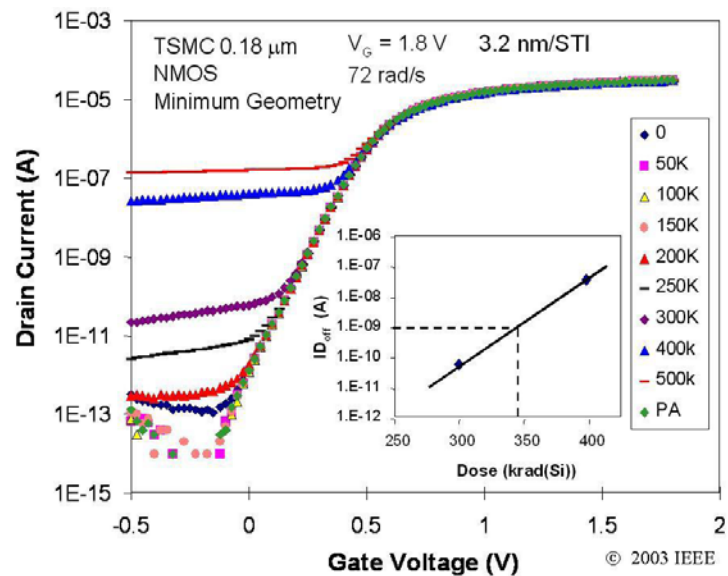
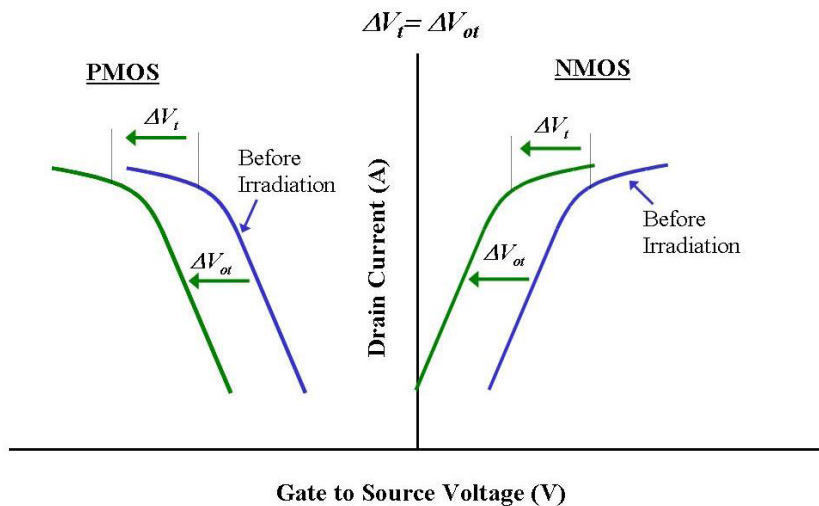
ENC仿真和测试还是存在差距，  
如何更精确？



(W. Gao, TNS, 2018)

## 设计挑战二：抗辐射加固设计

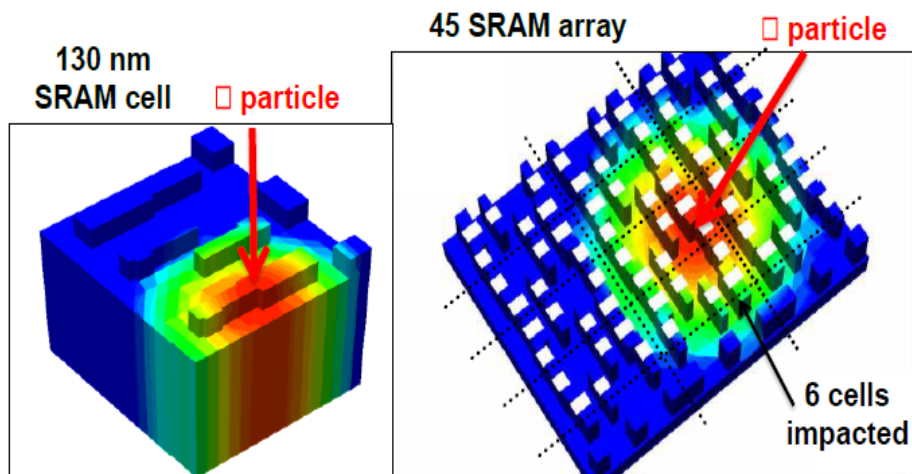
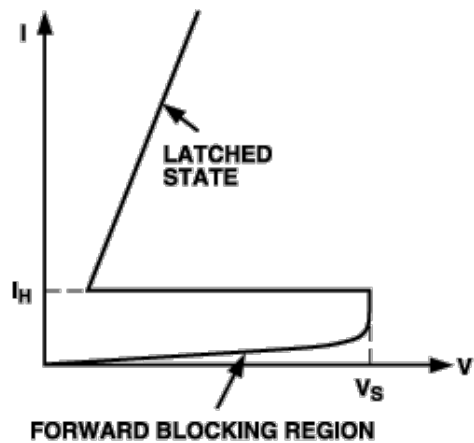
➤ **总剂量效应** → 晶体管阈值电压负向漂移、漏电流增加



$$-\Delta V_t(N_{ot}) = -\Delta V_{ot} \propto t_{ox}^2$$

## 设计挑战二：抗辐射加固设计

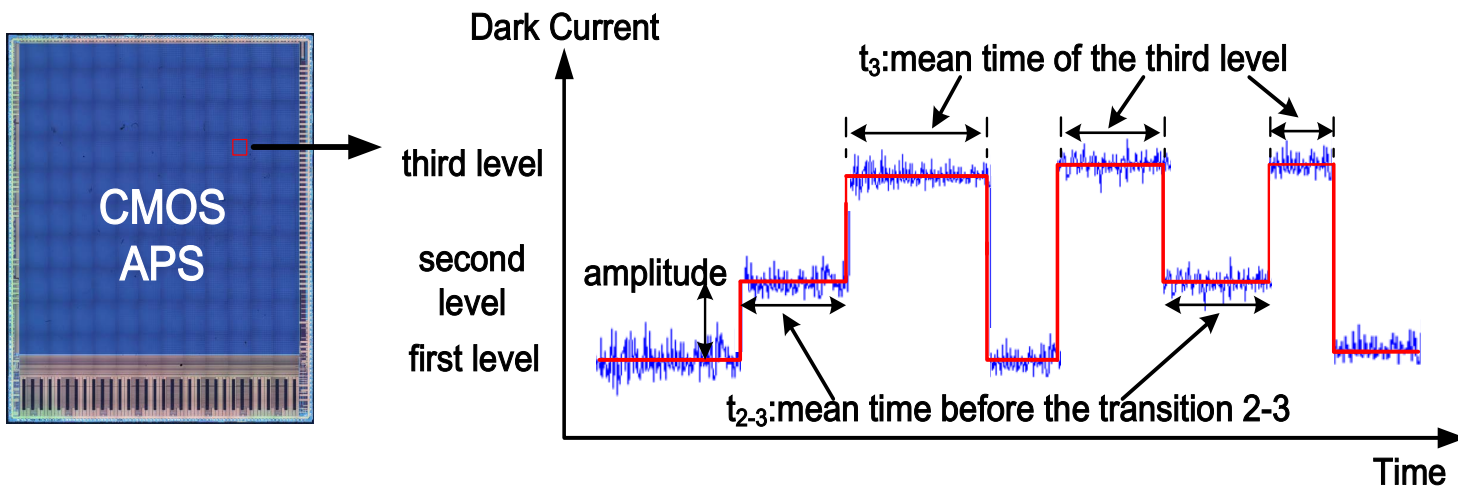
➤ **单粒子效应** → 单粒子闩锁、单粒子翻转



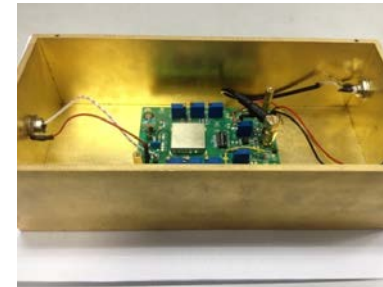
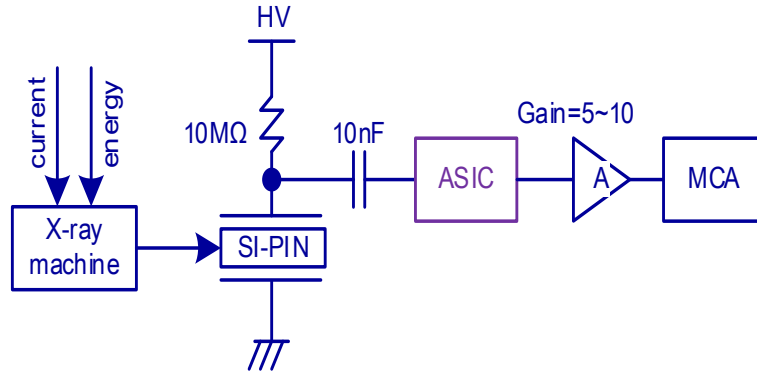


## 设计挑战二：抗辐射加固设计

➤ **位移损伤效应** → 二极管、双极型电路 → 随机电报信号噪声



## 设计挑战三：测试与评估



### □ 电气性能测试

- $Q_{\max} \rightarrow T_p \rightarrow ENC \rightarrow P_d$
- FOM (Figure of Merit)

### □ 连探测器能谱测试

- 匹配性：一致性、盲像元率
- $\sigma \rightarrow$  Energy Resolution

### □ 抗辐射能力测试

- TID: Co-60
- SEE: 重离子、质子
- DD: 中子

$$FOM_{roc} = \frac{P_d \cdot \tau_p}{Q_{\max} / ENC}$$

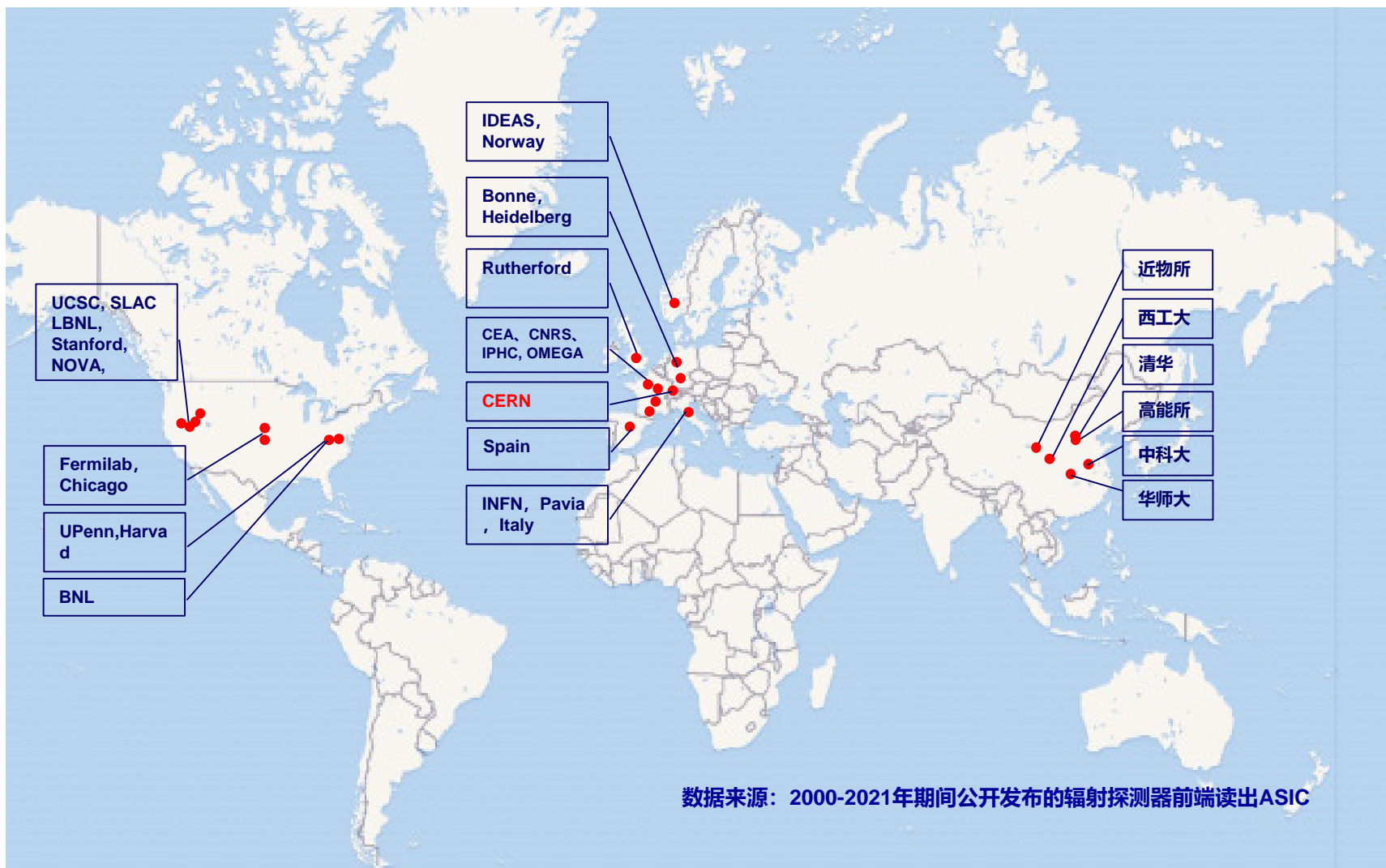
$$\sigma \approx \frac{A_Q \cdot ENC \times 2.35}{V_{LSB} \cdot \sum_{i=1}^N 2^i} \times 100\%$$



# 国内外现状及动态



# 国内外主要研究单位



数据来源：2000-2021年期间公开发布的辐射探测器前端读出ASIC



## 国内外主要研究单位

### 研发现状

#### ● 国外

- ✓ 开发始于1980s，芯片设计理论和技术成熟，产品性能高，大规模应用；
- ✓ 相对于消费类电子芯片，读出ASIC用量少，技术门槛高，开发周期长，研发成本高，一般不在工业界研发，主要集中在欧美国家实验室和相关高校。
- ✓ 国外提供芯片的公司：IDEAS和NOVA等；

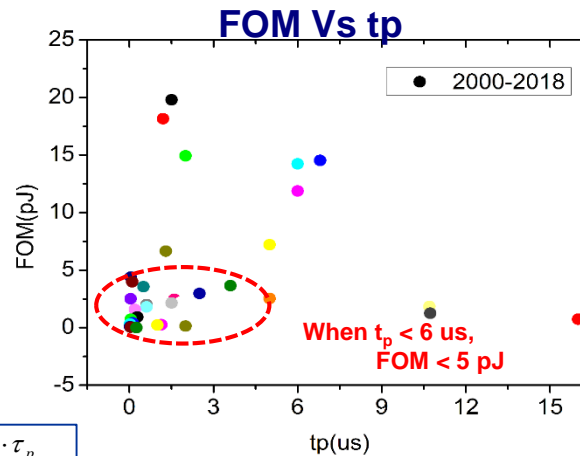
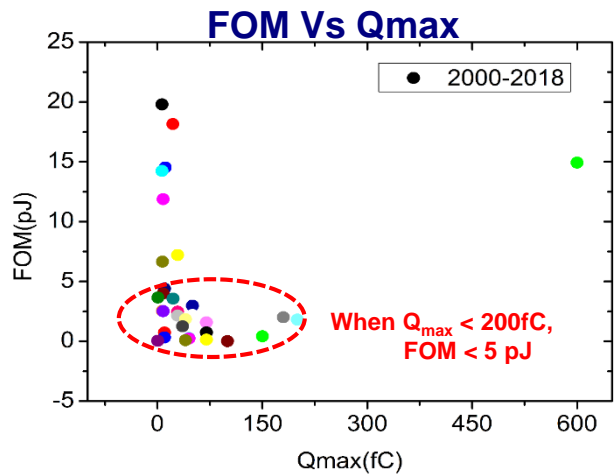
#### ● 国内

- ✓ 开发起步于2006年，传统核电子学优势单位开展了ASIC研发，已有少量应用；
- ✓ 高性能的大通路(>128)、抗辐射ROIC、大阵列像素型ASIC和MAPS等基本上依赖进口。

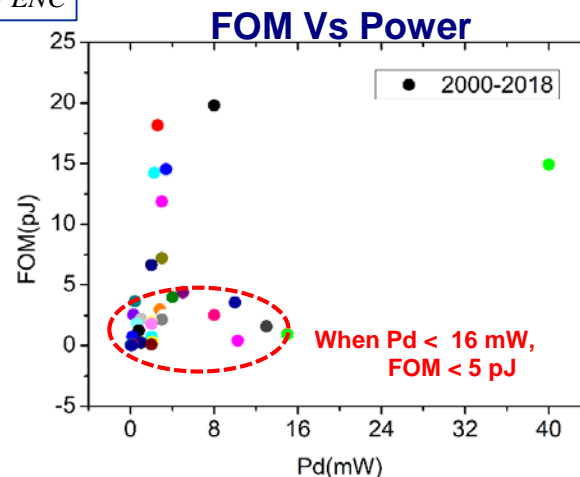
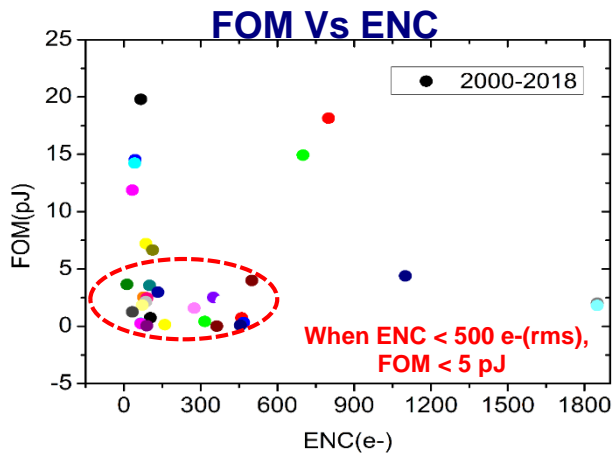
数据来源：2000-2021年期间公开发布的辐射探测器前端读出ASIC



# 前端读出ASIC性能综述

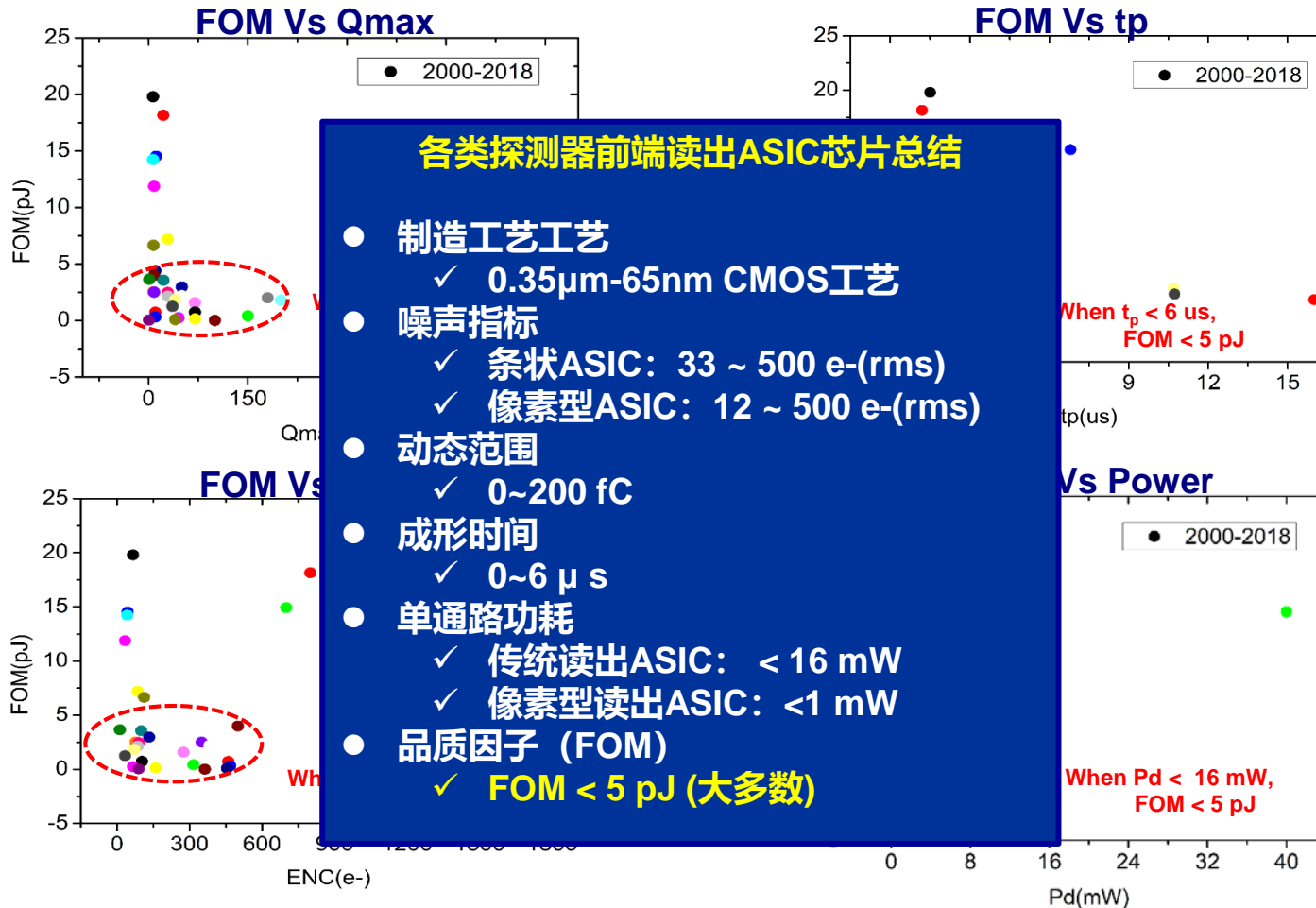


$$FOM_{roc} = \frac{P_d \cdot \tau_p}{Q_{max} / ENC}$$



数据来源: 2000-2018年期间公开发布的辐射探测器前端读出ASIC

# 前端读出ASIC性能综述



数据来源: 2000-2018年期间公开发布的辐射探测器前端读出ASIC



# 气体探测器前端读出ASIC

## 典型的气体探测器

### □ GEM

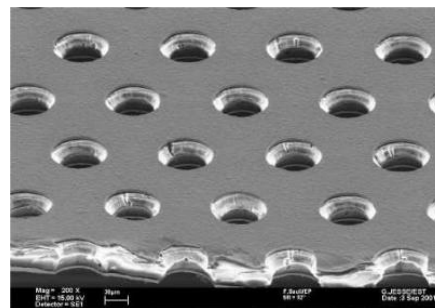
- 特点:高位置分辨率、时间响应快
- 应用:天文射线探测、中子探测

### □ Micromegas

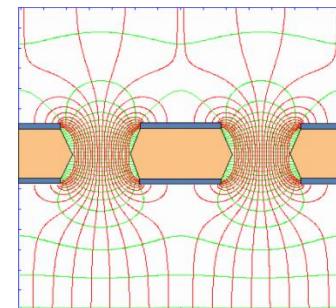
- 特点:良好的空间和时间分辨率、高增益、高计数率
- 应用:粒子物理、核物理和天体物理实验

### □ 对前端读出电子学的要求

- 多通路、快速响应、大动态范围、低功耗



• Microscopic picture of a "standard" GEM



• The electric field lines in a hole within the kapton foil

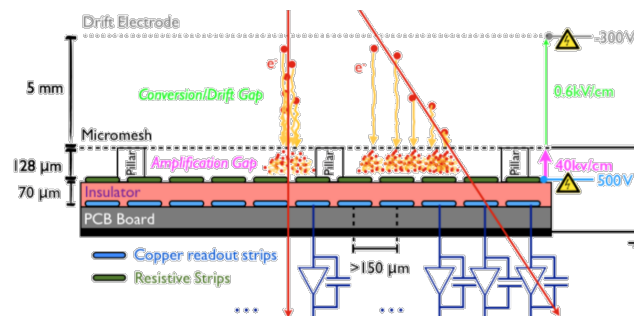


Figure 3. The schematic of the Micromegas detector divided into two regions, the conversion/drift gap and the amplification gap.

# GEM探测器ASIC

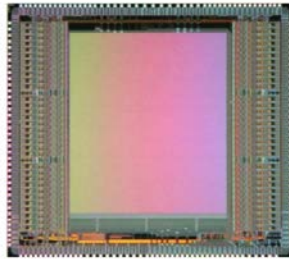


Fig. 5. AGET die photography, size 8.5 x 7.6 mm<sup>2</sup>.

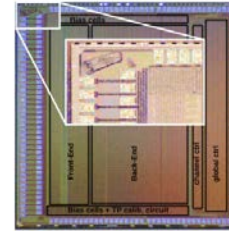
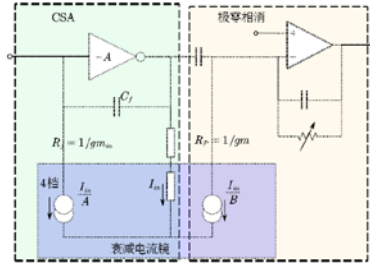


Figure 2: Microphotograph of the TIGER chip (left) and the test bench setup used for the electrical characterization (right).

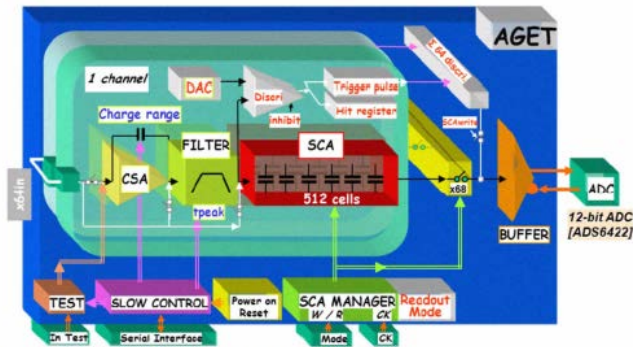


Fig. 3. Architecture of the AGET chip.

- AGET, Saclay, France

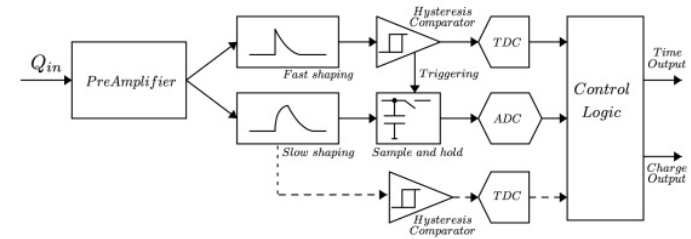


Figure 1: Block diagram of one channel

- TIGER, IHEP, China

## Micromegas探测器ASIC

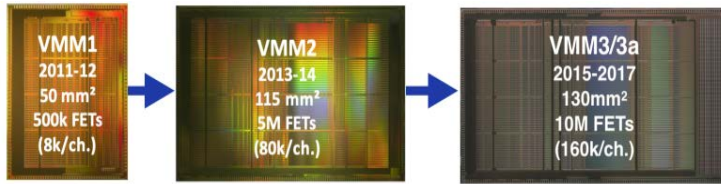


Figure 1. Evolution of the VMM ASIC.

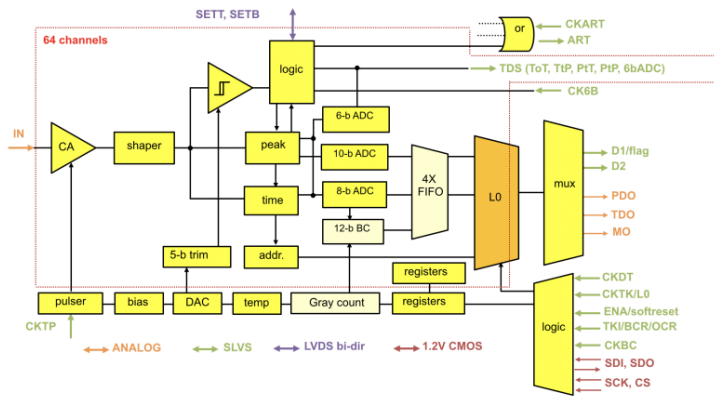


Figure 2. Architecture of the VMM.

• VMM, BNL, USA

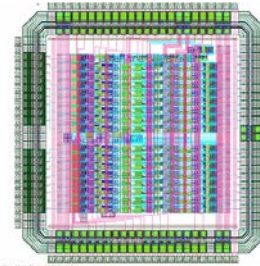


Fig. 3 CASAGEM layout

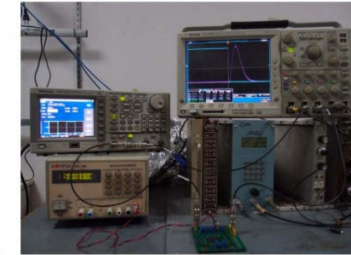


Fig. 5 Function test setup

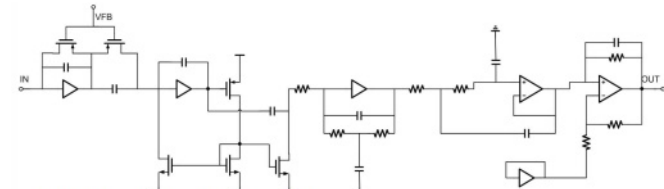


Fig. 1 Anode Readout Circuit Diagram

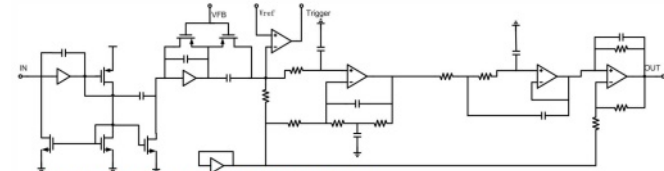
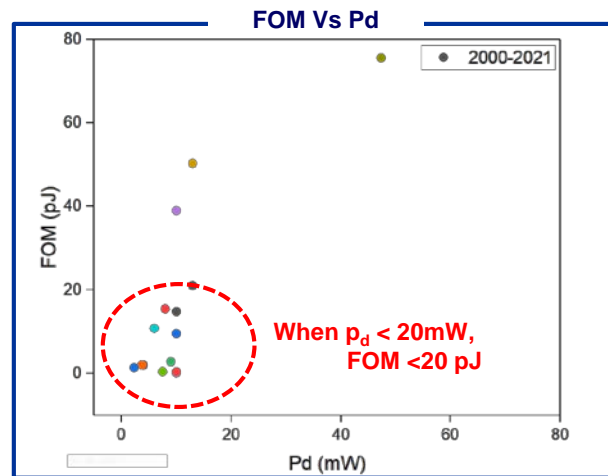
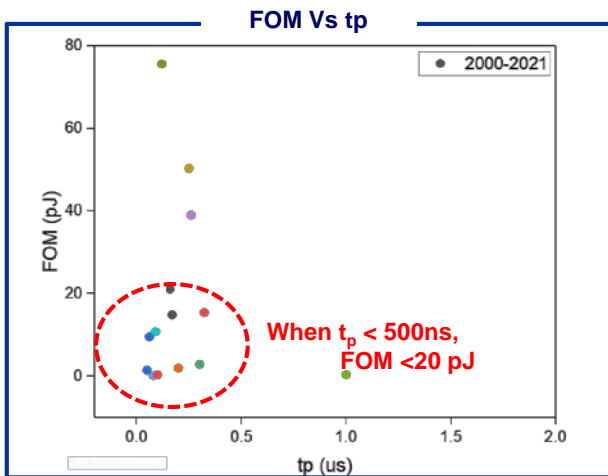
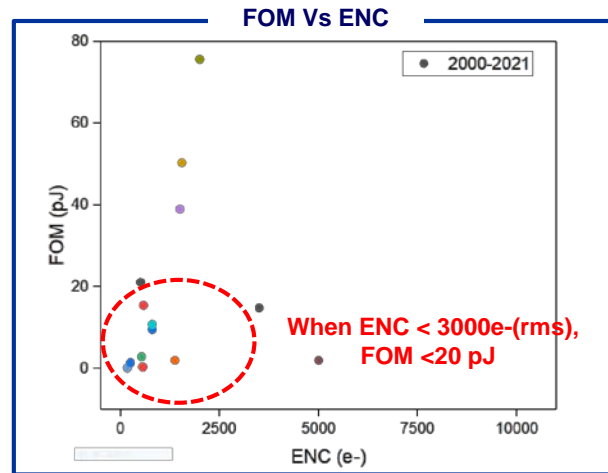
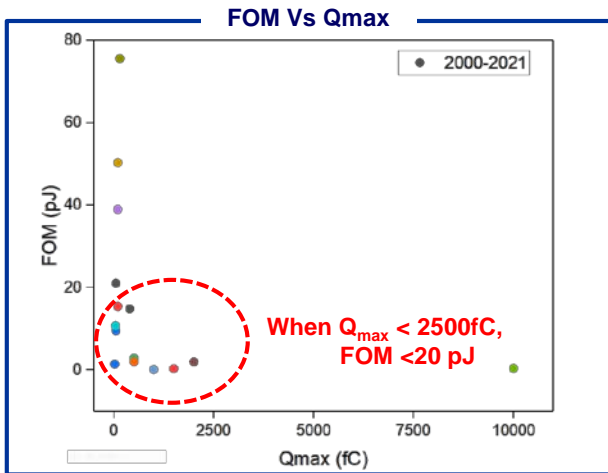


Fig. 2 Cathode Readout Circuit Diagram

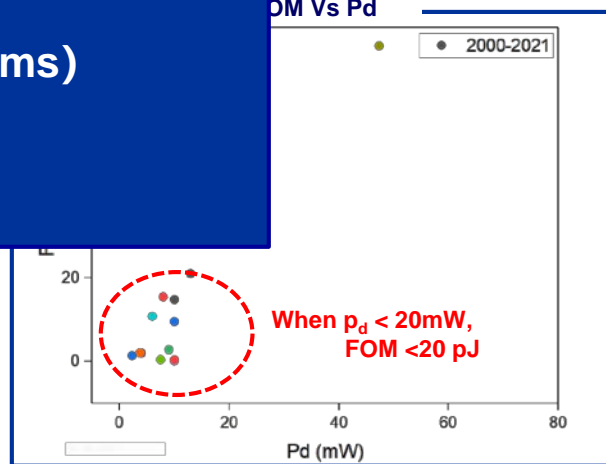
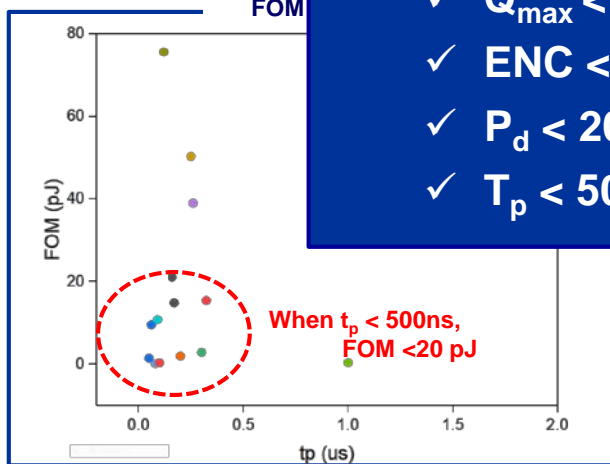
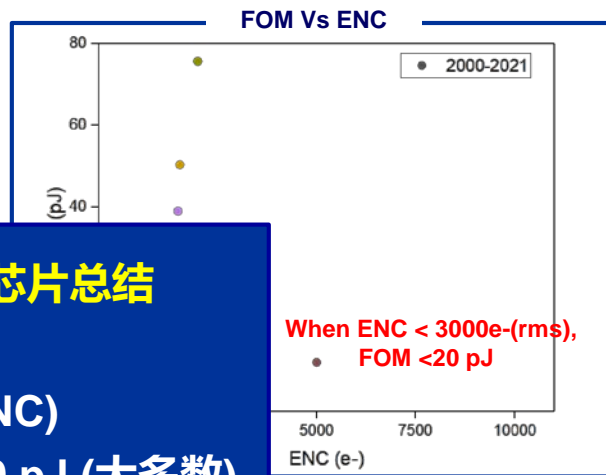
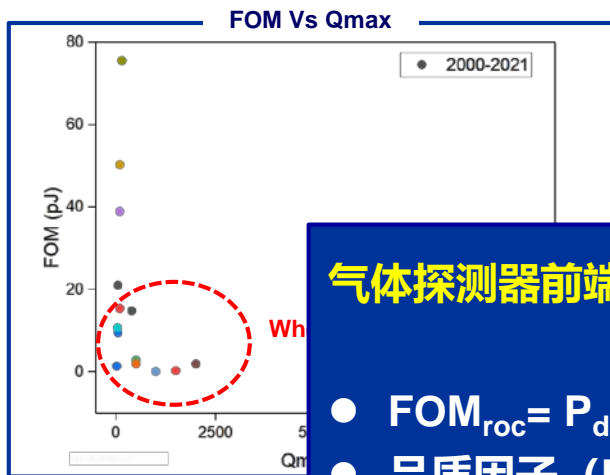
• CASEGEM, Tsinghua, China

## 气体探测器前端读出ASIC性能趋势



数据来源：2000-2021年期间公开发布的辐射探测器前端读出ASIC

# 气体探测器前端读出ASIC性能趋势



## 气体探测器前端读出ASIC芯片总结

- $FOM_{roc} = P_d \cdot t_p / (Q_{max} / ENC)$
- 品质因子 (FOM) < 20 pJ (大多数)
  - ✓  $Q_{max} < 2500 \text{ fC}$
  - ✓  $ENC < 3000 \text{ e- (rms)}$
  - ✓  $P_d < 20 \text{ mW/ch}$
  - ✓  $T_p < 500 \text{ ns}$

数据来源：2000-2021年期间公开发布的辐射探测器前端读出ASIC



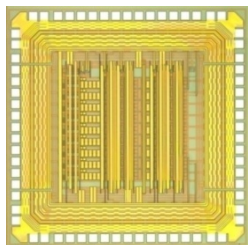


# 西北工业大学前端读出ASIC研究进展

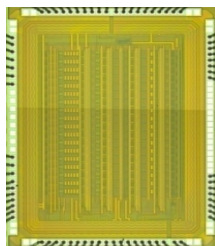


# 研发历程

- 国内平台、国内人员、国内工艺、全正向设计
- 工艺: TSMC 0.35 $\mu$ m, CSMC 0.35 $\mu$ m, TSMC 180nm, SMIC 180nm
- 探测器: PMT、CZT、APD、Si-PIN、SDD等
- 关键技术: 低噪声、抗辐射



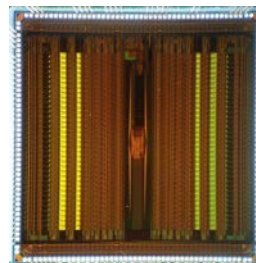
单路前端读出原理样片 (2012)



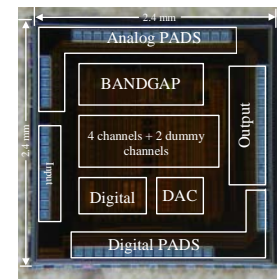
16路模拟读出原理样片 (2013)



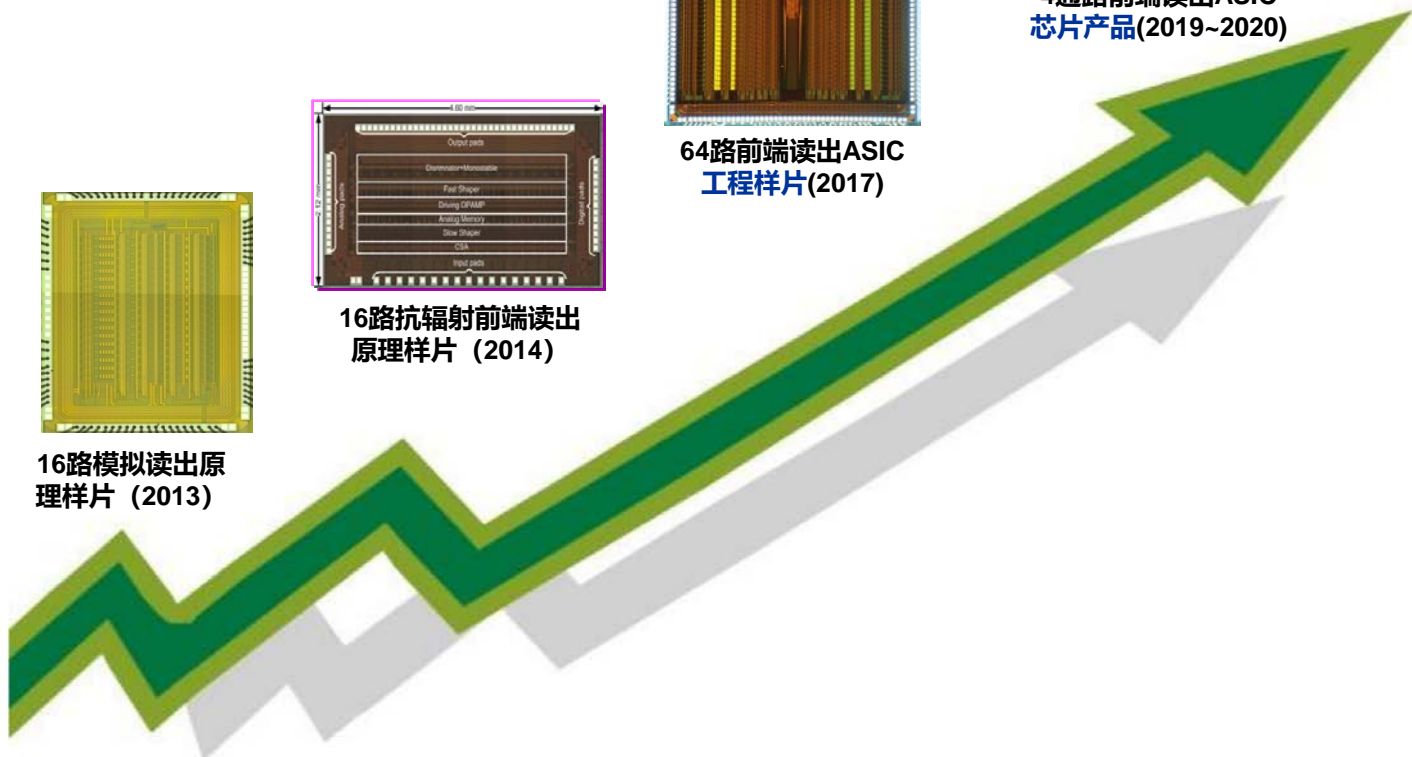
16路抗辐射前端读出原理样片 (2014)



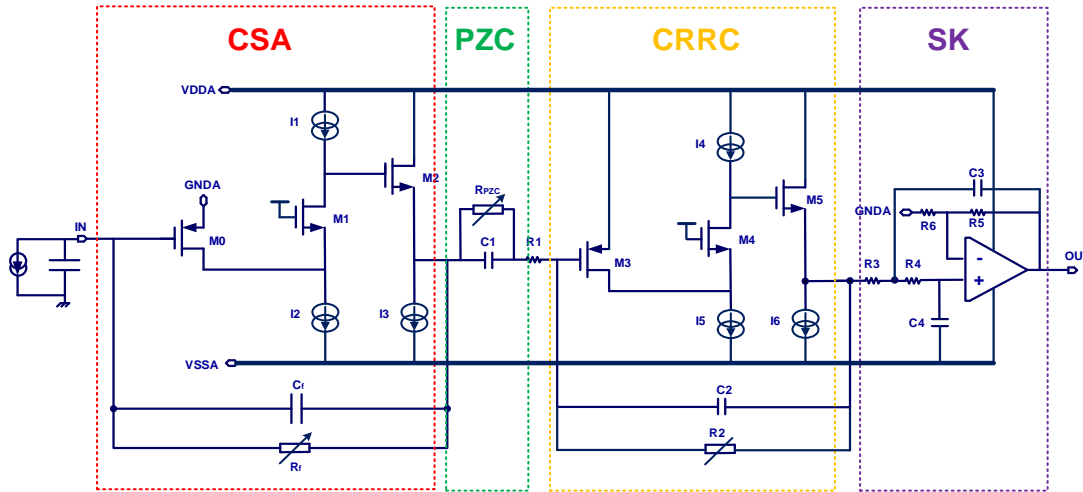
64路前端读出ASIC工程样片(2017)



4通路前端读出ASIC芯片产品(2019~2020)



## 解决方案：低噪声模拟前端

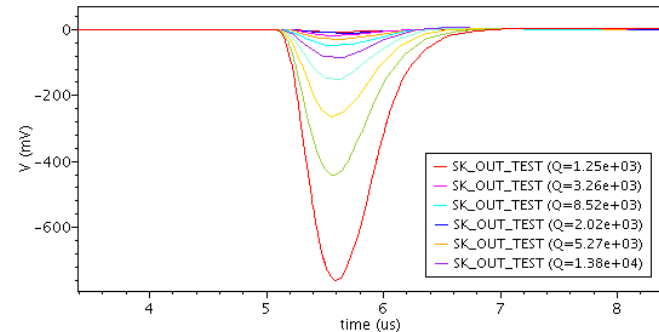
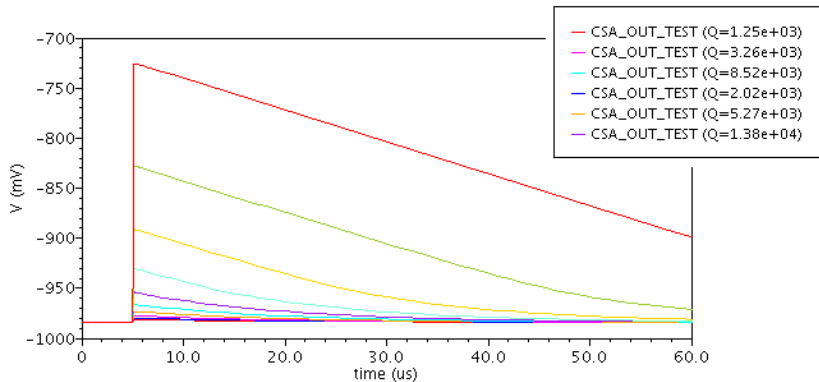


### □ 电路结构

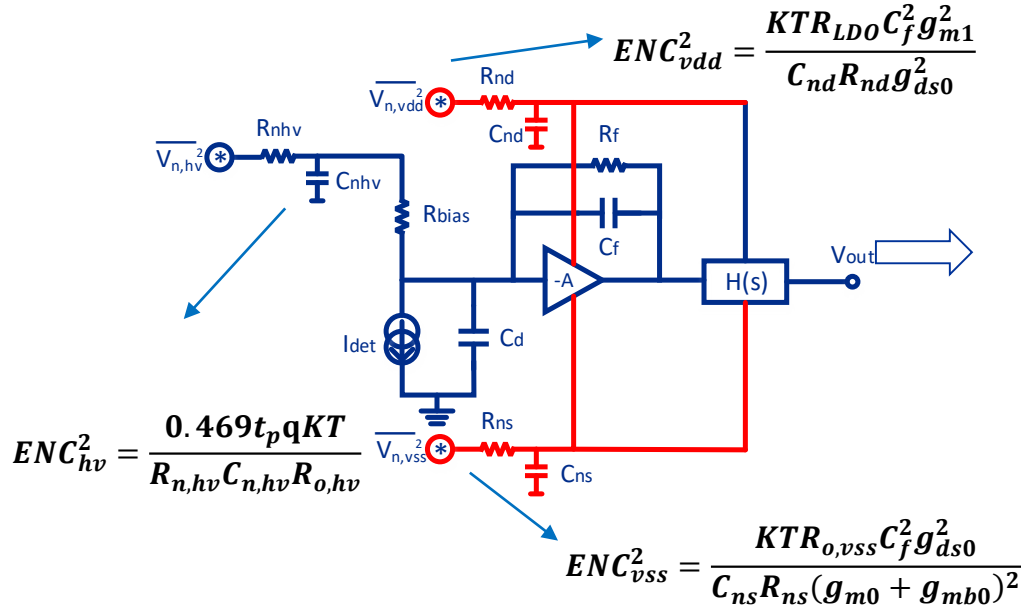
- ✓ 电荷灵敏前放
- ✓ CR-RC3成形主放
- ✓ 零极相消电路
- ✓ 可变电阻电路

### □ 电压源(VDDA, VSSA, GNDA)

$$H(s) = -\frac{R_f}{1+sC_fR_f} \cdot \frac{1+sC_1R_{pzc}}{R_{pzc}} \cdot \frac{sA_{v0}}{(1+s\tau)^4}$$



## 噪声建模及优化方案



$$ENC^2 = ENC_i^2 + ENC_v^2 + ENC_f^2 + ENC_{const}^2$$

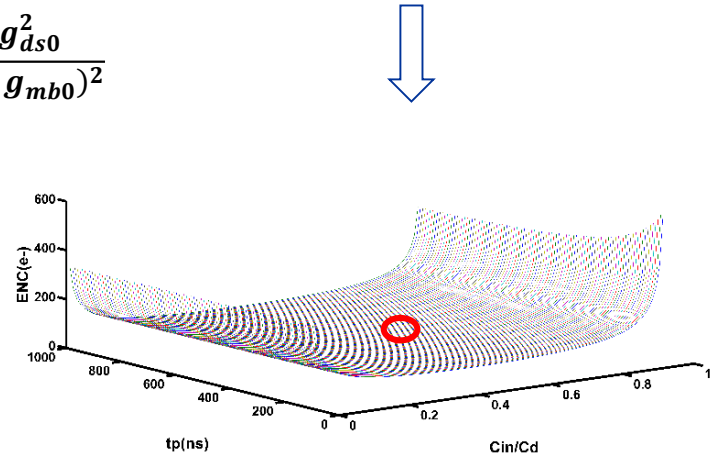
$$ENC_i^2 = 0.462t_p \left[ qI_{det} + 2kT \left( \frac{1}{R_{bias}} + \frac{1}{R_f} \right) \right]$$

$$ENC_v^2 = 3.696 \frac{(C_F + C_T)^2 kT \gamma_n}{t_p g_{m1}}$$

$$ENC_f^2 = 3.696 (C_F + C_T)^2 \frac{K_f}{C_{ox}^2 WL} \frac{1}{WL}$$

$$ENC_{const}^2 = ENC_{pwr,hv}^2 + ENC_{pwr,asic}^2 + ENC_{gnd,asic}^2$$

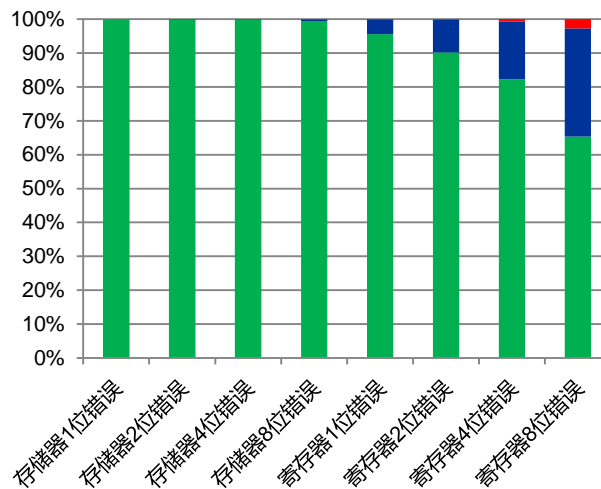
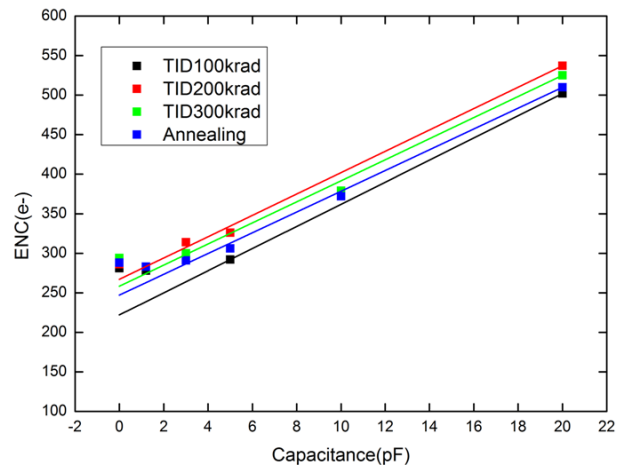
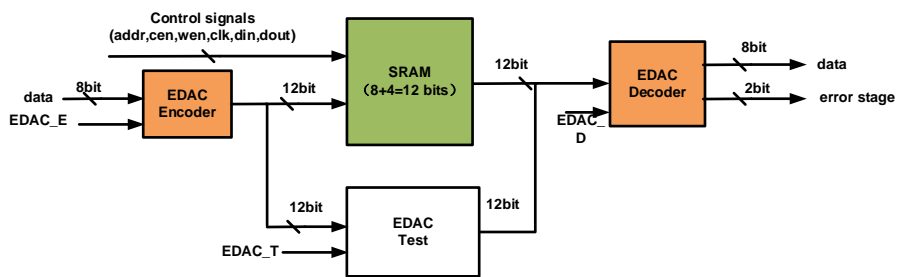
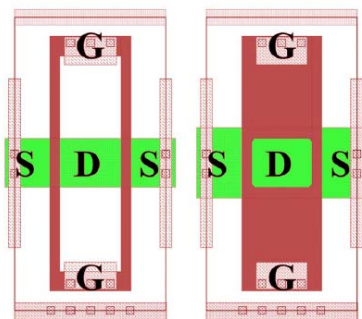
- ### Optimized parameters
- ✓  $C_f = 50 \text{ fF}$
  - ✓  $W = 1200 \text{ } \mu\text{m}$
  - ✓  $L = 400 \text{ nm}$
  - ✓  $I_{D,CSA} = 400 \text{ } \mu\text{A}$
  - ✓  $T_p = 250 \text{ ns}$



ENC calculation

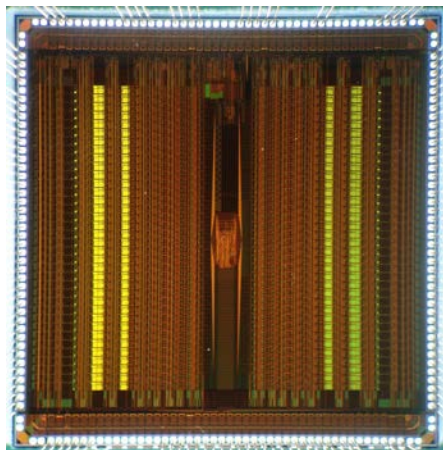
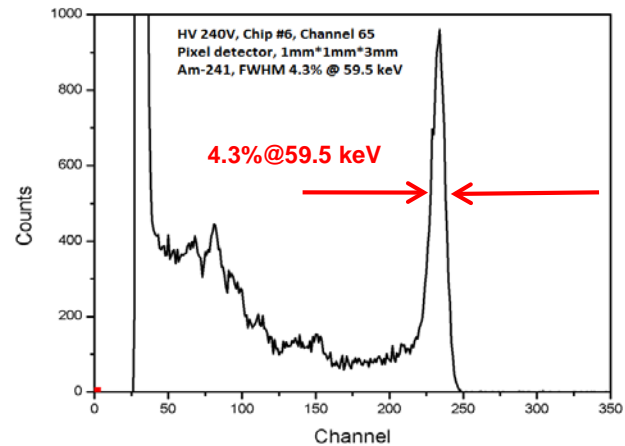
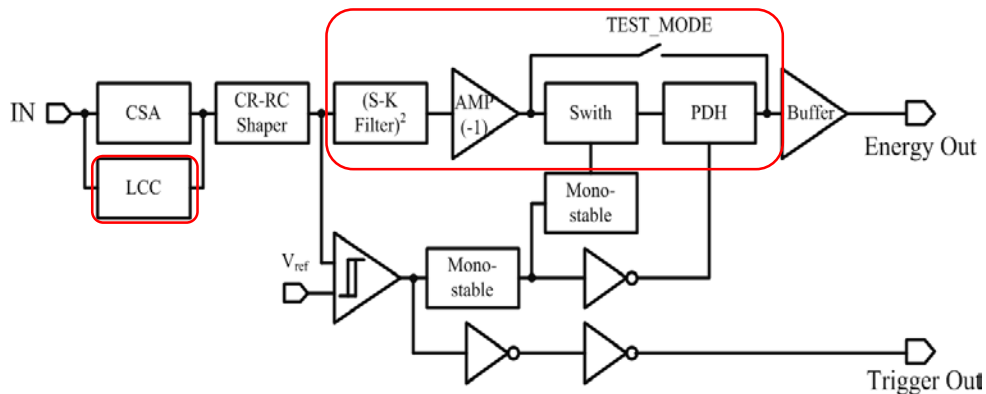
## 抗辐射加固设计方案

- 版图级加固
- 硬件检错纠错



- 切换后仍然出错
- 出错后双模冗余切换
- 正确运行

## 低噪声多通路前端读出ASIC



FOM=2.4 pJ

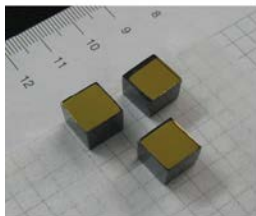
### 参数

### 性能指标(SENSROC8)

Detector	8×8阵列CZT晶体 (Pixel size: 1mm × 1mm × 3mm)
Process(μm)	CMOS 0.35um 3.3V MS
Channel No.	64
Input range(e-)	2k~247k
ENC (rms)	66 e-+14e-/pF (tested)
Consistency	< 3 %
Radiation Hardness	200 krad(Si)

(NIM A, 2014, MEJ 2016)

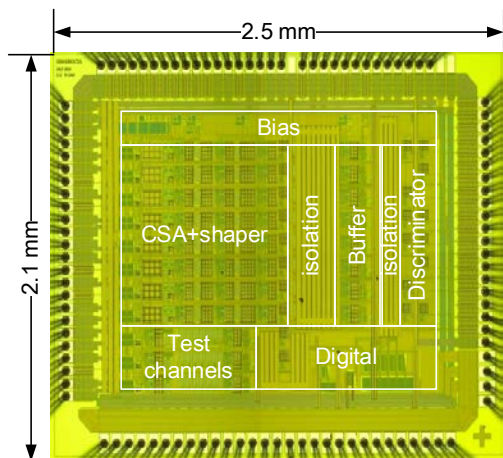
## 低功耗前端读出ASIC



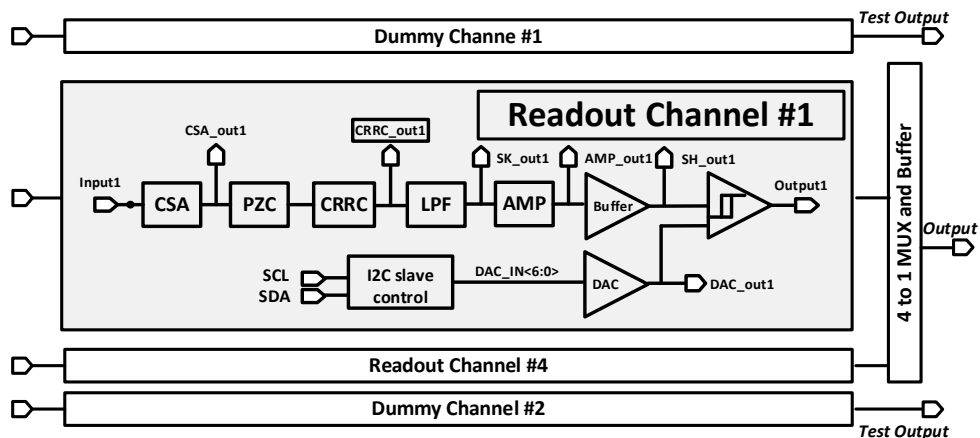
探测器 (CZT)



个人剂量仪



FOM=0.5 pJ



参数	性能指标
探测器	CZT探测器 (3mm×7mm×3mm)
Process	CMOS 0.18μm 1.8/3.3V MS
die size	2.1 mm× 2.5 mm
Input Range	0.2 fC -15 fC
Linearity	< 3%
Gain	>100 mV/fC
ENC	112 e- + 17 e-/pF
Count rate	10 <sup>5</sup> (100 kCPS)
Power Diss.	1.74 mW/channel
Application	Electronic Personal Dosimeter

(TNS, 2018)

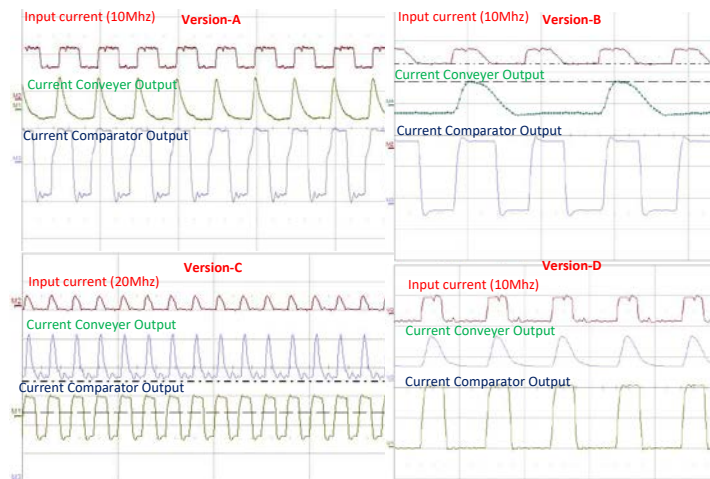
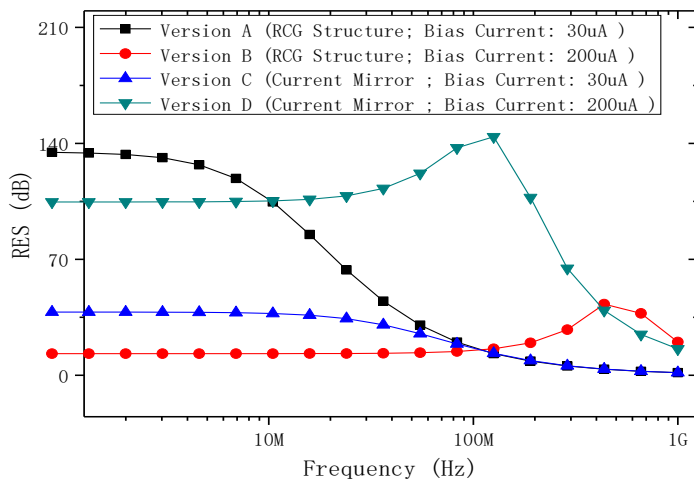
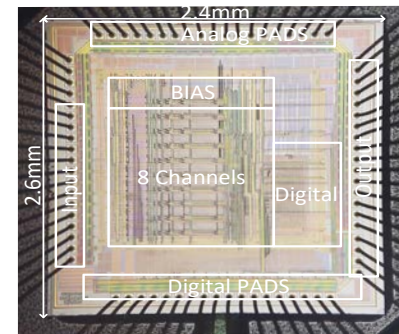
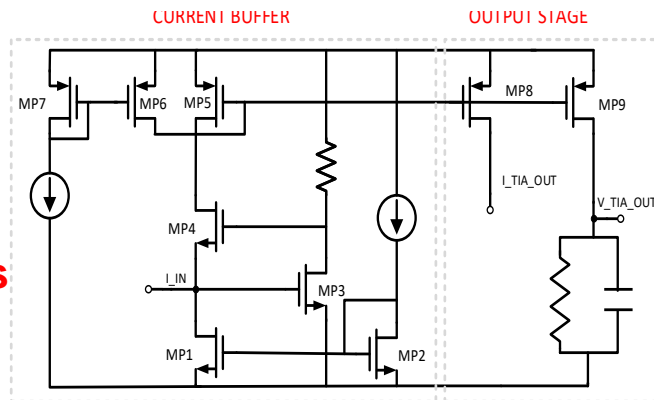
## 高计数率前端读出ASIC

### □ 电路结构

- ✓ RGC跨阻放大器
- ✓ 电流比较器

### □ 主要特点

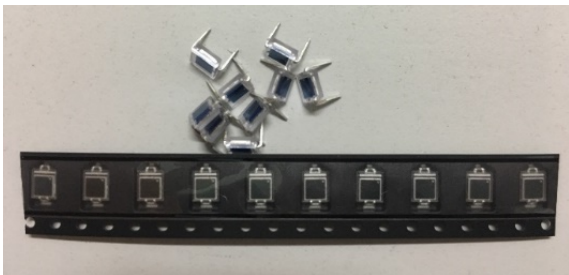
- ✓ 高计数率: **20 Mcps**
- ✓ 低输入阻抗, **20 Ω**



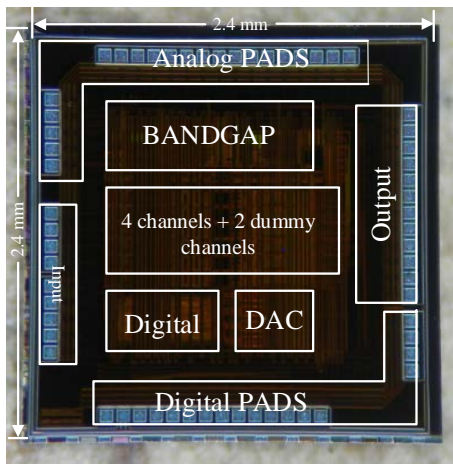
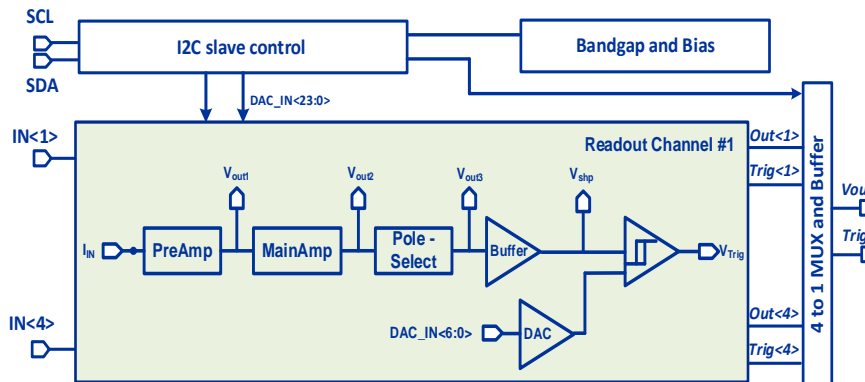
(NSS-MIC, 2021)



## 低功耗前端读出ASIC



探测器  
(Si-PIN)

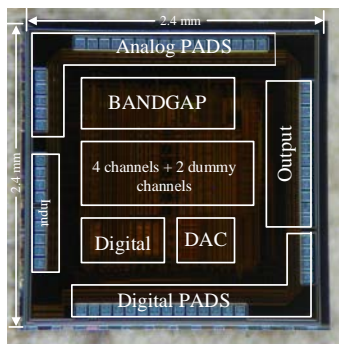


FOM=0.59 pJ

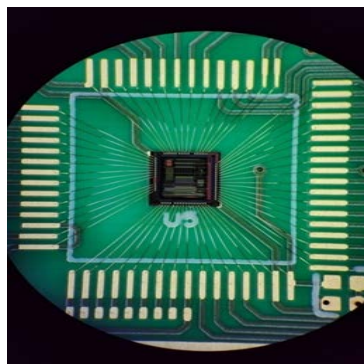
参数	性能指标
探测器	Si-PIN探测器 (2.7mm × 2.7mm × 3mm)
Process	CMOS 0.35μm 3.3V MS
die size	2.4 mm × 2.4 mm
Input Range	0.2 fC -15 fC
Linearity	< 3%
Gain	>60 mV/fC
ENC	119 e <sup>-</sup> + 5 e <sup>-</sup> /pF
Count rate	150 kCPS
Power Diss.	1.25 mW/channel
Application	Electronic Personal Dosimeter

(TNS, 2019)

## 前端读出ASIC应用



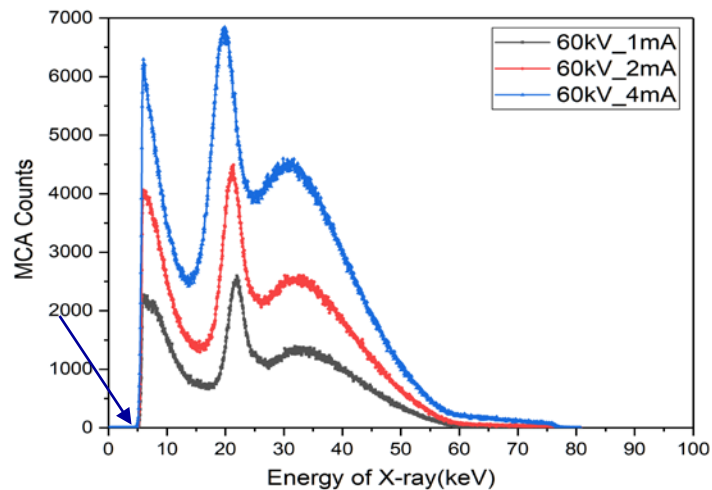
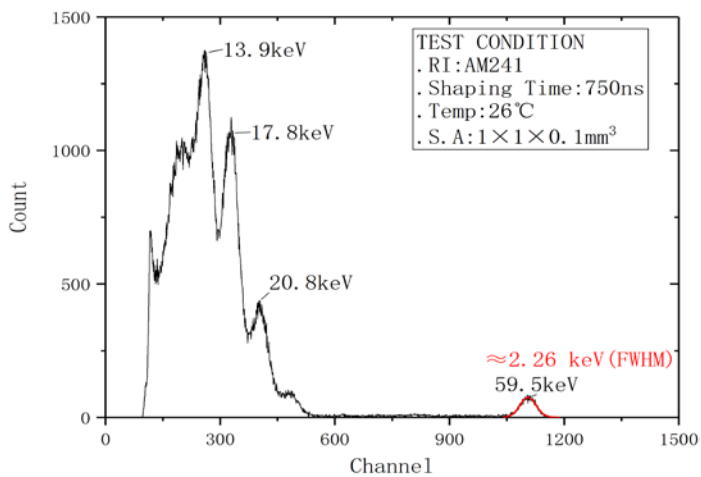
芯片照片



芯片封装

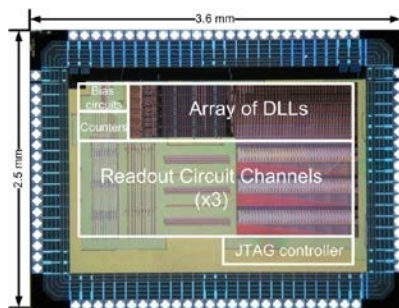


芯片应用

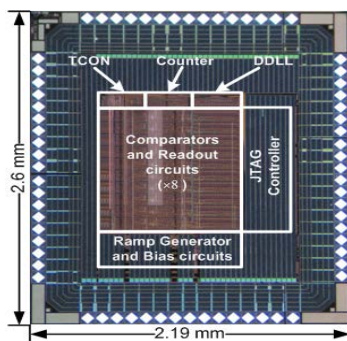


(NSS/MIC, 2020)

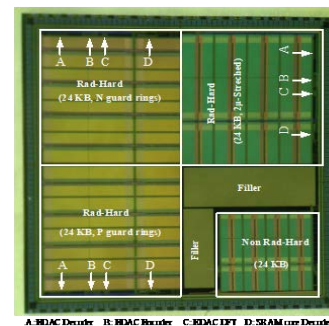
## 西工大研发的其他芯片



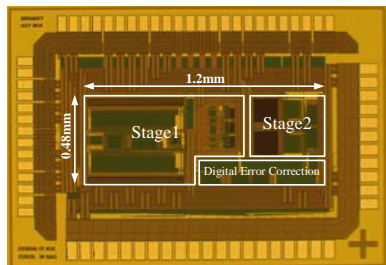
**高分辨率TDC(2011)**  
AMS 0.35 $\mu$ m CMOS



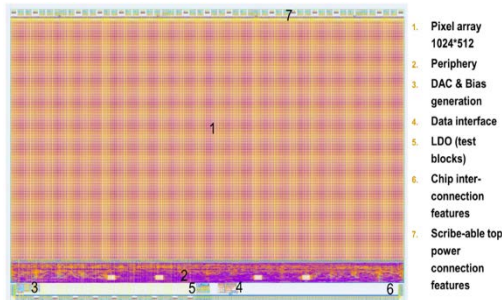
**12位单斜坡ADC(2012)**  
AMS 0.35 $\mu$ m CMOS



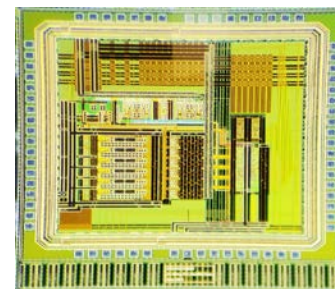
**抗辐射SRAM(2014)**  
SMIC 0.18 $\mu$ m CMOS



**12位流水式逐次逼近ADC(2017)**  
TSMC 0.18 $\mu$ m CMOS



**MAPS高速数字读出(2020)**  
TJ 0.18 $\mu$ m CMOS



**14位单斜坡ADC(2021)**  
GF 0.18 $\mu$ m CMOS

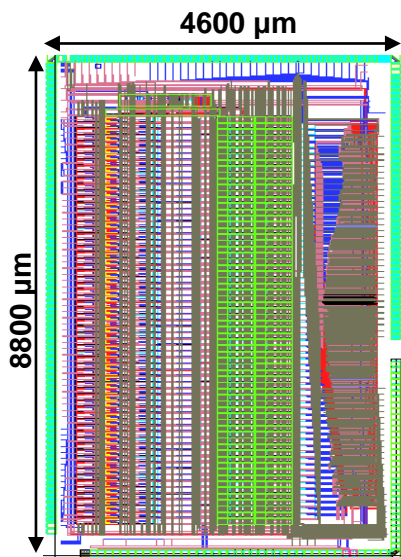
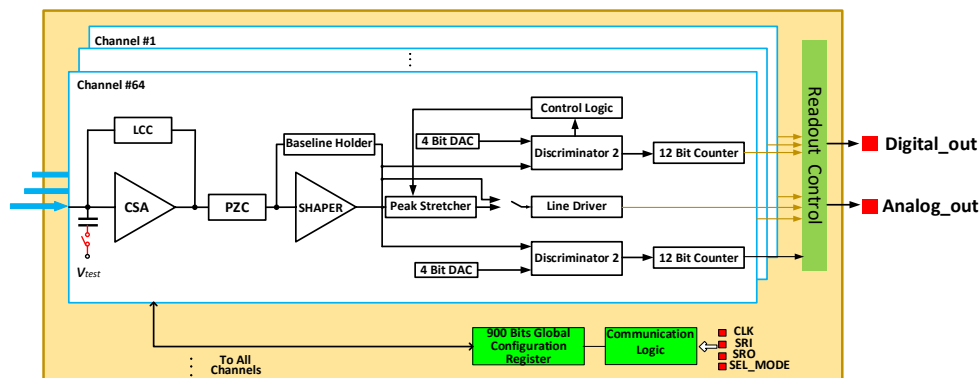
# 下一步工作1：超低噪声计数型多路读出ASIC

## □ 电路结构

- ✓ 电荷积分式模拟前端
- ✓ 高分辨计数器

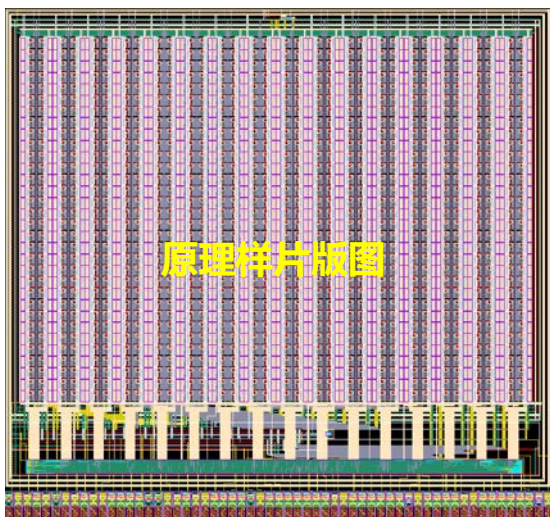
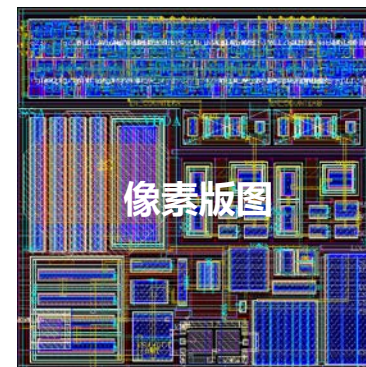
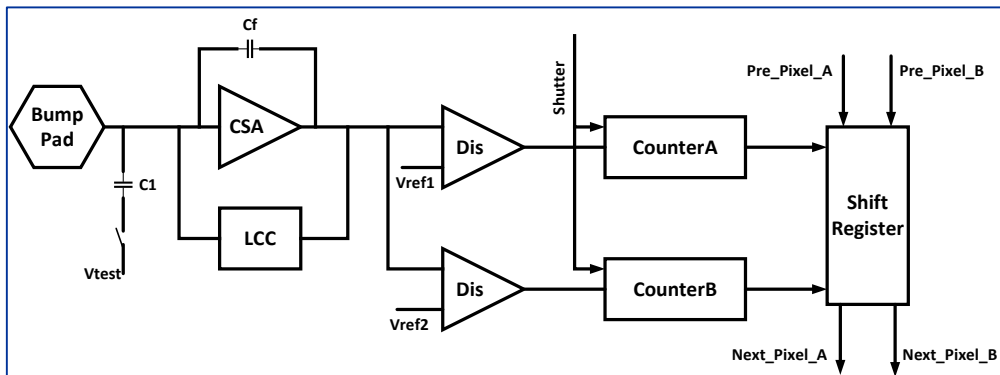
## □ 主要特点

- ✓ 超低噪声：29 e<sup>-</sup> + 5 e<sup>-</sup>/pF
- ✓ 双计数器：12 位
- ✓ 事件驱动读出



参数	仿真结果
Process	CMOS 0.35μm
Detectors	Si-PIN Detector
Power supply	3.3 V
Die size	4.6 mm × 8.8 mm
Energy range	0.08~1 fC
Shaping time	0.1, 0.2, 0.4, 0.7 μS
Linearity	<2.5%
Count rate	>1 Mcps
ENC	29 e <sup>-</sup> + 5 e <sup>-</sup> /pF
Power dissipation	<4.5 mW/channel
Application	X-Ray Diffractometer

## 下一步工作2：像素型读出ASIC



参数指标	仿真结果
像素尺寸	75 $\mu\text{m}$ $\times$ 75 $\mu\text{m}$
阵列大小	32 $\times$ 32
输入范围	0 ~ 10 fC
增益	60 mV/fC
等效输入噪声电荷	113 e <sup>-</sup>
计数范围	2 $\times$ 6 bits
功耗	42 $\mu\text{W}/\text{pixel}$
计数率	> 500 k/pixel
应用	彩色CT成像、天文望远镜



## 总结语

- 1 探测器前端读出电子学ASIC概述
- 2 国内外现状及动态
- 3 气体探测器前端读出ASIC
- 4 西北工业大学前端读出ASIC研究进展
- 5 下一步工作：超低噪声、数字像素型



**请各位专家批评指正**

**谢谢！**